

임펄스 패턴 변화에 따른 집단신경세포의 정보처리 특성

김 용 만·이 경 중·이 명 호

= Abstract =

Information Processing Characteristic for Changes in Impulse Patterns in the Neuron Pool

Yong-Man Kim, Kyung-Joong Lee, Myoung-Ho Lee

This paper describes the mechanism of information processing in the nervous system through neuron pool model which is consisted of six single neural models. In the neuron pool model, summation characteristic of stimulus satisfies those of real nervous system and output impulse rate increases linearly to the input stimulus.

Occlusion phenomena of the neuron pool model is approached to those of real nervous system and also if the threshold potential within subliminal fringe is increased, facilitation phenomena appeared.

Therefore, the results of this study suggest that we can construct large neuron pool with many single neural models and verify the mechanism of information processing in the wide part of nervous system.

1. 서 론

여러개의 단일신경세포(single neuron)로 이루어지는 집단신경세포(neuron pool)에서 일어나는 정보처리 특성이 관한 연구는 1961년 Josephson, worthy 등에 의해始作된以來 1972년 Freemann의 단일신경세포에서의 정보처리특성 연구 1976年 Nachmansohn의 흥분성신경세포와 억제성신경세포의相互接合으로 이루어지는 집단신경세포에서의 정보처리특성 해석에 이르기까지 많은 연구가 진행되었다. 따라서 본 연구에서는 단일신경세포에 대한 電氣的 모델을 구성하고 이 신경모델에서의 정보처리特性를 입력자극의 주파수, 자극의 크기 및 자극의 지속시간을 각각 獨立的으로變化시킬 때 일어나는 出力임펄스 패턴의變化를 考察하여 單一神經細胞에서 일어나는 情報處理 메카니즘을 규명하여 보고자 하며, 또한 이를 單一神經모델로 이

<1981. 12. 2. 접수>

연세대학교 전기공학과

Dept. of Electrical Eng. Yonsei University

* 本稿는 大韓電子工學會 秋季學術大會에서 發表한 論文임

루어지는 集團神經細胞에서 航分性 및 억제性 입력에 따른 出力임펄스 패턴의變化를 考察하여 之으로서, 集團神經細胞에서 이루어지는 情報處理 메카니즘의 일부를 밝혀보자 한다.

2. 神經細胞의 情報傳達

神經細胞에서 일어나는 情報傳達過程은 外部로 부터 들어오는 情報를 수집하는 入力機能의 수상돌기와 細胞體, 細胞體에서 加重(summation)되어진 電氣임펄스를 傳達하는 傳達經路의 측색(axon), 측색을 通하여 傳達된 電氣임펄스를 다른 神經細胞나 筋肉 등 말단기관에 傳達하는 출력기능의 측색종단등 세 단계로 나뉘는데 그림 2-1은 이 過程을 圖示한 것이다.

한편, 여러개의 시냅스전섬유(presynaptic fiber) 및 시냅스후섬유(postsynaptic fiber)들이 밀집되어 있는 集團神經細胞의 자극전달 特성은 여러 시냅스를 通해 들어오는 자극이 繼續적으로 加重(summation)되는 形態로 測定할 수 있다.

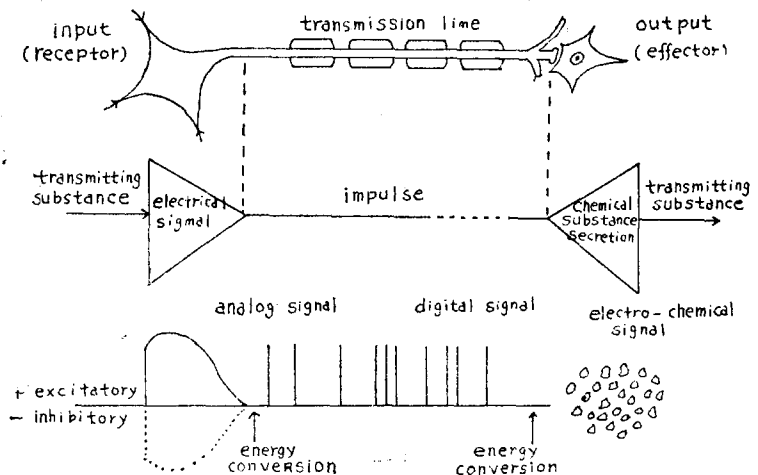


그림 2-1. 신경세포의 자극전달과정

Fig. 2-1. Transmitting process of stimulus in a single neuron

3. 實驗

(1) 實驗裝置의 構成

單一神經細胞 및 集團神經細胞에서 일어나는 情報處理 메카니즘을 研究, 考察하기 為하여 構成한 實驗裝置의 블럭선도는 그림 3-1과 같다.

(2) 자극 발생장치

神經모델에 加하는 입력자극을 얻기 위해 그림 3-2(a)에서와 같이 8 MHz의 수정발진회로에서 發生된 펄스는 카운터로 연결하여 분주회로, JK 플립-플롭 및 AND 게이트를 거치는 동안 펄스의 지속시간을 固定시

키고 周波數와 크기만을 各各 變化시킬 수 있는 出力を 얻게하였다. 또한 펄스의 지속시간만을 變化시킬 경우의 出力を 얻기 위해 그림 3-2(b)와 같이 비교기回路를 構成하여 DC레벨의 基準入力を 조절함으로써 周波數와 크기가一定하고 펄스의 지속시간만을 變化시킬 수 있는 出력을 얻을 수 있게 하였다. 표 3-1은 製作한 자극발생장치의 시험특성을 나타낸 것이다.

표 3-1. 자극 발생 장치의 特性
Table 3-1. Specifications of stimulator

| | |
|-----------------------|------------------|
| Pulse repetition rate | 2~2000[Hz] |
| Pulse duration | 1.0[ms]~0.5[sec] |
| Amplitude | 0~±5[v] |

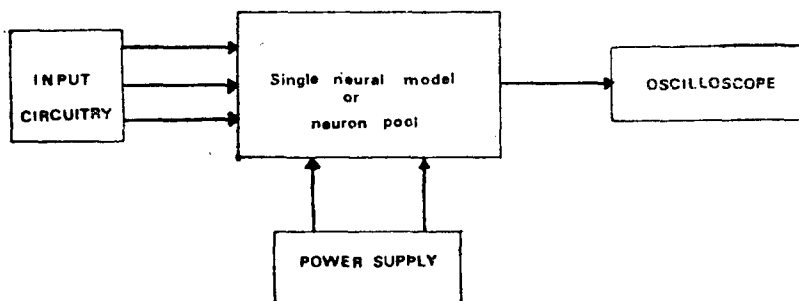


그림 3-1. 實驗장치의 블럭선도
Fig. 3-1. Block diagram of main experimental system

—김용만 외 : 임펄스 패턴 변화에 따른 집단신경세포의 정보처리 특성—

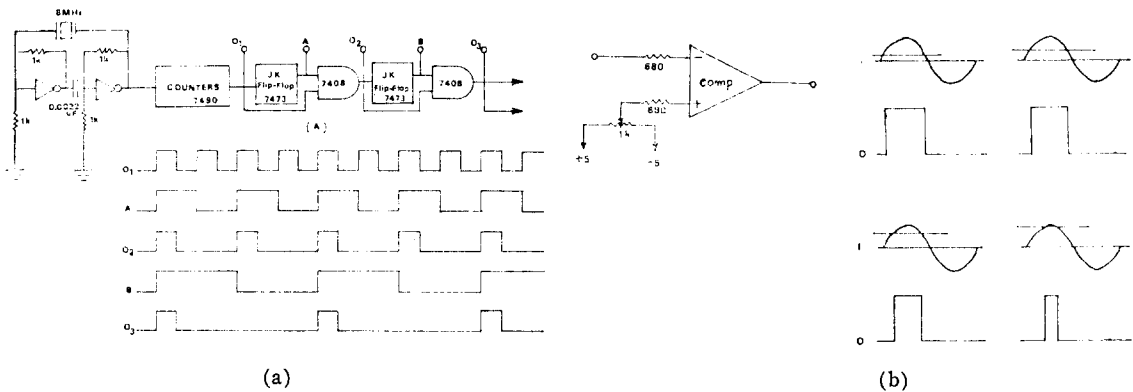


그림 3-2. 자극 발생기
Fig. 3-2. Stimulator

(3) 單一神經細胞모델

本研究에서製作한神經細胞 모델은 과거의 모델에서는 구별되지 않았던 신경의 적응(accommodation)特性을 포함하여 억제성 시냅스후전위 동안에도 실제神經과 같은動作을 하도록 하였다. 그림 3-3은神經細胞모델의回路圖이며表3-2는 6개의單一神經모델의應答特性을 나타낸 것이다.單一神經모델에對한 입력자극의周波數, 자극의 지속시간 및 자극의 크기를 각各獨立的으로變化시켜 가며 응답특성을 관찰하였다. 표 3-3, 표 3-4, 표 3-5는 實驗結果를 보인 것이고 사진 1 사진 2 사진 3은 각각 이들의 일부를 보인 것이다. 입력자극의周波數를 F , 입력자극의 지속시간을 각각 D_i , D_o 입력자극의 크기를 각각 A_i , A_o 로

神經모델의 시간지연을 T_D , 출력펄스의 數를 N 으로 나타내었다. 사진에서 I 는 입력, EO 는 홍분성 출력 IO 는 억제성 출력, S 는 적분출력, TH 는 문턱전위 출력을 나타낸다.

(4) 集團神經細胞모델

單一神經모델 6개로 이루어진集團神經細胞를構成하였는데 이 6개는 3개의 홍분성 신경세포단(excitatory neural mass; ENM)과 억제성 신경세포단(inhibitory neural mass; INM)으로 나누었다. 이러한集團神經細胞에 입력을 加하는方法은 입력이 두 가지일 경우, 두 가지 입력이 다 홍분성이거나 또는 둘 모두 억제성이거나 그리고 하나의 홍분성과 하나의 억제성으로 이루어진 경우등의 모두 3가지로 나눌 수 있다. 그러나

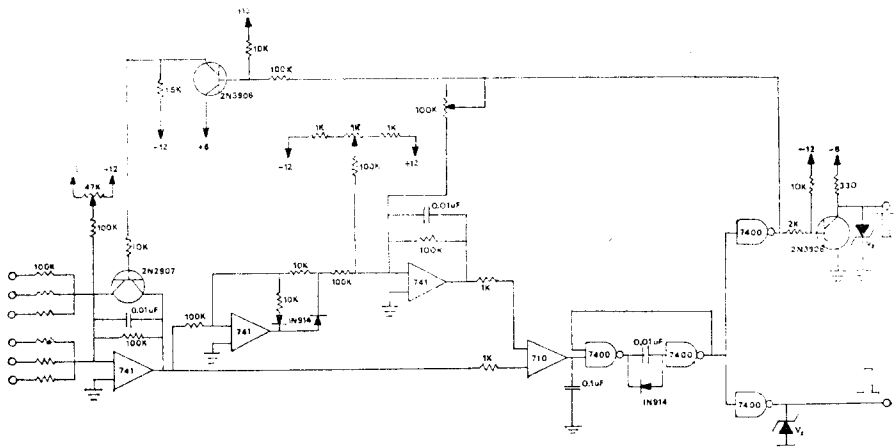


표 3-3. 입력자극의 크기 변화에 대한 신경모델의 응답변수 값

Table 3-3. Responses of a single neural model to increased amplitude of stimulus

| Input | | | Output | | |
|-------|-----------------------|--------------------|-----------------------|--------------------|-----------|
| F[Hz] | D _i [msec] | A _i [v] | D _o [msec] | A _o [v] | N[number] |
| 26 | 20 | 0.4 | 0.1 | 0.6 | 2 |
| 26 | 20 | 0.6 | 0.1 | 0.6 | 8 |
| 26 | 20 | 1.4 | 0.1 | 0.6 | 22 |
| 120 | 4 | 0.8 | 0.3 | 1.4 | 3 |
| 120 | 4 | 1.2 | 0.3 | 1.4 | 5 |
| 120 | 4 | 1.5 | 0.3 | 1.4 | 13 |
| 400 | 1.2 | 0.8 | 0.2 | 2.0 | 8 |
| 400 | 1.2 | 1.5 | 0.2 | 2.0 | 10 |
| 400 | 1.2 | 2.0 | 0.2 | 2.0 | 16 |

표 3-4. 입력자극의 지속시간 변화에 대한 신경모델의 응답변수 값

Table 3-4. Responses of a single neural model to increased duration of stimulus

| Input | | | Output | | |
|-------|-----------------------|--------------------|-----------------------|--------------------|-----------|
| F[Hz] | D _i [msec] | A _i [v] | D _o [msec] | A _o [v] | N[number] |
| 40 | 4 | 1.0 | 0.1 | 1.5 | 2 |
| 40 | 6 | 1.0 | 0.1 | 1.5 | 6 |
| 40 | 8 | 1.0 | 0.1 | 1.5 | 8 |
| 100 | 2 | 1.0 | 0.2 | 1.5 | 4 |
| 100 | 6 | 1.0 | 0.2 | 1.5 | 16 |
| 100 | 12 | 1.0 | 0.2 | 1.5 | 42 |
| 150 | 5 | 5.0 | 0.1 | 1.8 | 11 |
| 150 | 18 | 5.0 | 0.1 | 1.8 | 56 |
| 150 | 40 | 5.0 | 0.1 | 1.8 | 120 |

표 3-5. 입력자극의 주파수 변화에 대한 신경모델의 응답변수 값

Table 3-5. Responses of a single neural model to increased frequency of stimulus

| Input | | | Output | | |
|-------|-----------------------|--------------------|-----------------------|--------------------|-----------|
| F[Hz] | D _i [msec] | A _i [v] | D _o [msec] | A _o [v] | N[number] |
| 2 | 30 | 0.8 | 0 | 0 | 0 |
| 16 | 30 | 0.8 | 0.2 | 0.7 | 13 |
| 32 | 30 | 0.8 | 0.2 | 0.7 | 22 |
| 64 | 30 | 0.8 | 0.2 | 0.7 | 27 |
| 128 | 30 | 0.8 | 0.2 | 0.7 | 32 |
| 2 | 3 | 1.6 | 0.3 | 1.8 | 3 |
| 16 | 3 | 1.6 | 0.3 | 1.8 | 7 |
| 32 | 3 | 1.6 | 0.3 | 1.8 | 10 |
| 64 | 3 | 1.6 | 0.3 | 1.8 | 12 |
| 128 | 3 | 1.6 | 0.3 | 1.8 | 21 |

표 3-2. 신경모델의 응답특성
Table 3-2. Responses of a single neural model

| Design model | Threshold voltage [v] | Frequency [Hz] | Time delay [msec] | Relative refractory period [msec] | Absolute refractory period [msec] | Time constant of integrator [msec] | Amplitude [v] |
|--------------|-----------------------|----------------|-------------------|-----------------------------------|-----------------------------------|------------------------------------|---------------|
| #1 | 0.3 | 2.3~900 | 0.5 | 0.4 | 1 | 1 | 0.2~3.0 |
| #2 | 0.3 | 2.0~1.2k | 0.5 | 0.6 | 10 | 10 | 0.2~3.0 |
| #3 | 0.3 | 1.6~900 | 0.5 | 0.4 | 1 | 1 | 0.1~3.0 |
| #4 | 0.3 | 1.8~1.1k | 0.5 | 0.4 | 1 | 1 | 0.1~3.0 |
| #5 | 0.3 | 2.4~700 | 0.5 | 0.6 | 10 | 10 | 0.2~3.0 |
| #6 | 0.3 | 1.5~1k | 0.5 | 0.4 | 1 | 1 | 0.1~3.0 |

集團神經細胞를 이루고 있는 神經細胞 사이의 相互連結方法에 따라 여러가지 方式으로 좀 더 나누어 질 수 있다. 본 實驗에서는 그림 3-4에서와 같이 흥분성 구심성신경 입력(excitatory afferent nerve input)과 억제성 구심성신경 입력(inhibitory afferent nerve input)의 두 가지 入力方式을 택하였으며 集團神經細胞를 構成하고 있는 神經細胞모델 사이의 相互連結을 하지 않았다. 따라서 흥분성일 때 세가지, 억제성일 때

세 가지 모두 9가지의 方式으로 나뉘게 하였으며 各各의 경우에 對하여 單一神經모델에서와 같이 入力자극의 크기, 자극의 지속시간 및 자극의 周波數等을 變化시킬때 應答되는 出力 임펄스의 發生비트數와 發化되는 神經의 數를 조사하였다. 이때 加重特性을 보다 명확히 확인하기 為하여 入力자극의 加重이 negative 일 경우는 接地端子와 바꾸어 주었다. 이로 인하여 入력자극의 合의 절대치가 문턱전위보다 크면 活動電位가

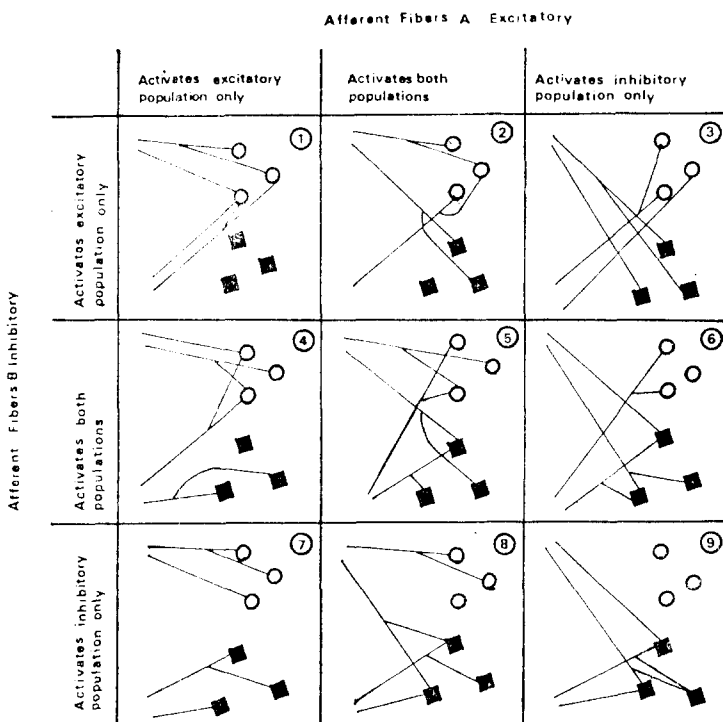


그림 3-4. 집단신경 모델의 연결방식
Fig. 3-4. Input configuration types of neuron pool

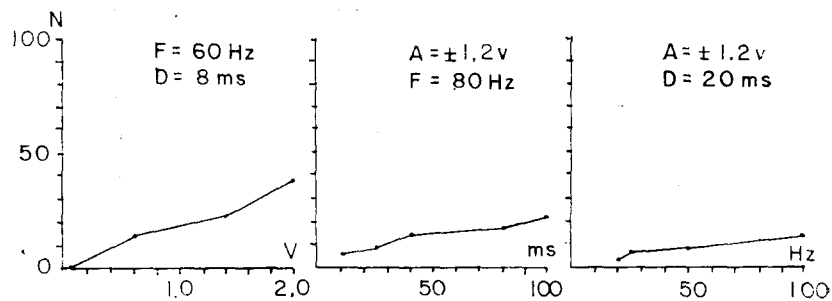


그림 3-5. 입력이 모두 ENM으로 들어가는 경우의 출력패턴

Fig. 3-5. Output patterns for the case of (1) in Fig. 3-4

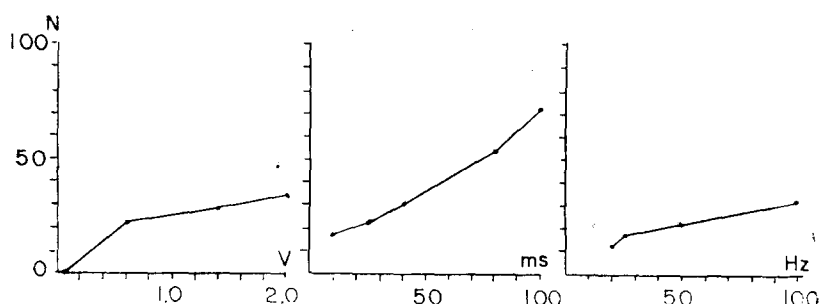


그림 3-6. 홍분성 입력은 ENM과 INM으로, 억제성 입력은 INM으로 들어가는 경우의 출력패턴

Fig. 3-6. Output patterns for the case of (2) in Fig. 3-4

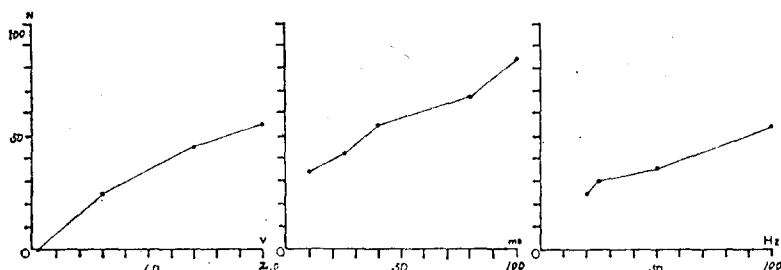


그림 3-7. 홍분성 입력은 INM으로, 억제성 입력은 ENM으로 들어가는 경우의 출력패턴

Fig. 3-7. Output patterns for the case of (3) in Fig. 3-4

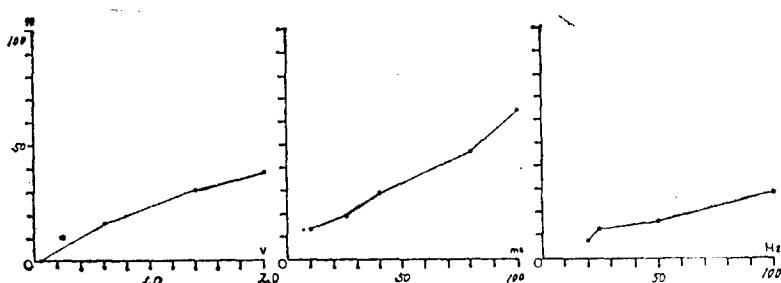


그림 3-8. 홍분성 입력은 ENM으로, 억제성 입력은 ENM과 INM으로 들어가는 경우의 출력패턴

Fig. 3-8. Output patterns for the case of (4) in Fig. 3-4

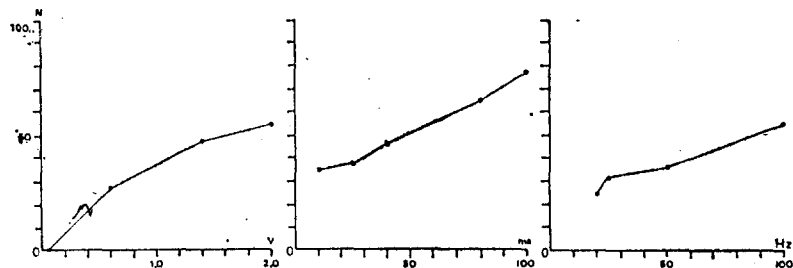


그림 3-9. 흥분성 및 억제성 입력이 ENM과 INM으로 나뉘어 들어가는 경우의 출력패턴
Fig. 3-9. Output patterns for the case of (5) Fig. 3-4

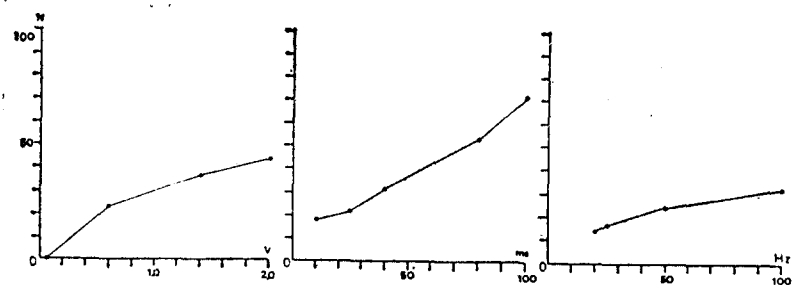


그림 3-10. 흥분성 입력은 INM으로, 억제성 입력은 ENM과 INM으로 들어가는 경우의 출력패턴
Fig. 3-10. Output patterns for the case of (6) in Fig. 3-4

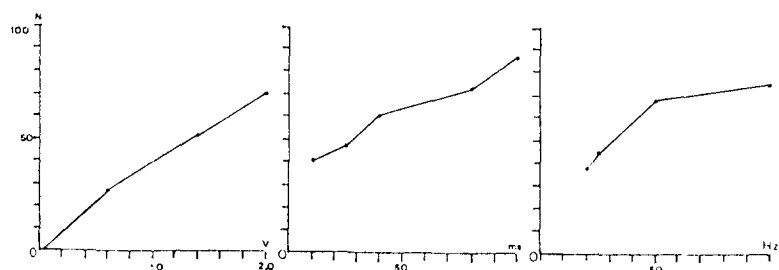


그림 3-11. 흥분성 입력은 ENM으로, 억제성 입력은 INM으로 들어가는 경우의 출력패턴
Fig. 3-11. Output patterns for the case of (7) in Fig. 3-4

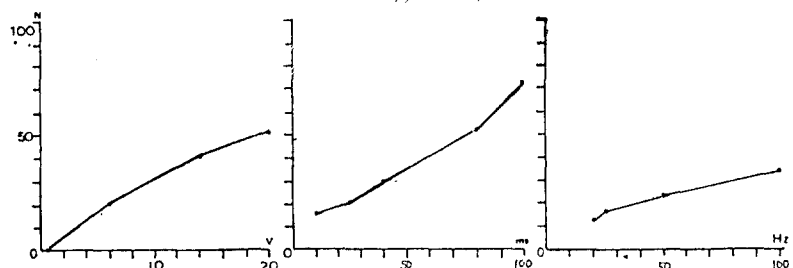


그림 3-12. 흥분성 입력은 ENM과 INM으로, 억제성 입력은 INM으로 들어가는 경우의 출력패턴
Fig. 3-12. Output patterns for the case of (8) in Fig. 3-4

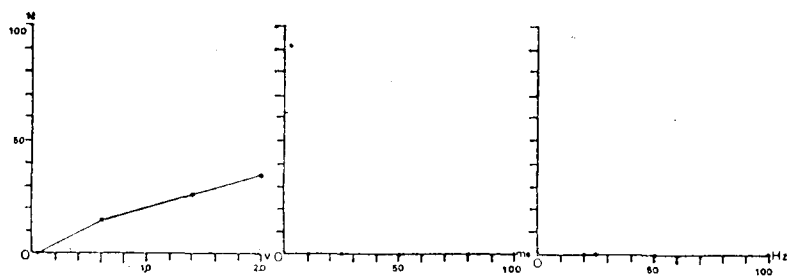


그림 3-13. 두입력이 모두 INM으로 들어가는 경우의 출력패턴
Fig. 3-13. Output patterns for the case of (9) in Fig. 3-4

發生하였다. 자극의 크기는 0.2, 0.6, 1.4 및 2.0[v]로 각각 增加시킨 경우이고, 지속시간은 10, 25, 40, 80 및 100[msec]로 增加시켰다. 자극의 周波數는 20, 25, 50 및 100[Hz]로 增加시켰다. 그림 3-5에서 그림 3-13 까지는 각 연결방식에 따른 출력패턴이며 표 3-6은 이 때의 실험결과이다.

한편 occlusion 및 facilitation 特性을 實驗하기 為해

그림 3-15와 같이 2개의 神經細胞모델로 構成된 共同 구역을 설정하였다. (b)의 경우 subliminal fringe의 神經細胞모델의 문턱전위를 0.4[v]로 높였다. 따라서 자극의 크기를 0.35[v]로 했으므로 나머지 神經細胞모델들은 活動電位를 發生시키지만 이 영역내의 神經細胞는 活動電位를 發生시키지 않았다. 그러나 A와 B를 同時에 자극했을 경우에는 이 영역내의 神經細胞모

표 3-6. 6개의 신경세포를 가진 집단신경 세포의 출력 임펄스

Table 3-6. Output impulses of neuron pool with six neural models

| Configuration type | Amplitude [v], F=60[Hz] D=8[msec] | | | | Duration[msec], F=80[Hz] A=±1.2[v] | | | | Frequency[Hz], A=±1.2[v] D=25[msec] | | | | |
|--------------------|--------------------------------------|----------|----------|----------|---------------------------------------|----|----|----|--|----|----|----|-----|
| | A = +0.3 | A = +1.2 | A = +2.0 | A = +2.5 | 10 | 25 | 40 | 80 | 100 | 20 | 25 | 50 | 100 |
| B = -0.2 | -0.2 | -0.6 | -0.6 | -0.5 | | | | | | | | | |
| #1 | 0 | 14 | 21 | 38 | 7 | 9 | 14 | 16 | 21 | 3 | 6 | 8 | 12 |
| #2 | 0 | 21 | 29 | 34 | 18 | 22 | 30 | 53 | 72 | 12 | 17 | 22 | 32 |
| #3 | 0 | 25 | 45 | 55 | 34 | 41 | 54 | 68 | 83 | 24 | 30 | 37 | 54 |
| #4 | 0 | 17 | 30 | 38 | 12 | 19 | 29 | 47 | 63 | 8 | 12 | 15 | 28 |
| #5 | 0 | 27 | 48 | 54 | 35 | 38 | 46 | 64 | 78 | 24 | 31 | 37 | 54 |
| #6 | 0 | 22 | 36 | 42 | 18 | 21 | 31 | 52 | 71 | 14 | 17 | 23 | 32 |
| #7 | 0 | 27 | 51 | 70 | 40 | 47 | 60 | 72 | 87 | 38 | 44 | 68 | 76 |
| #8 | 0 | 21 | 41 | 52 | 17 | 21 | 30 | 52 | 72 | 12 | 17 | 22 | 34 |
| #9 | 0 | 16 | 27 | 35 | 0 | 0 | 0 | 0 | 0 | 0 | 0 | 0 | 0 |

표 3-7. Occlusion 및 facilitation 응답특성

Table 3-7. Responses of occlusion and facilitation.

| Occlusion | | | Facilitation | | |
|-----------|--------|--------|--------------|--------|--------|
| Input | Output | | Input | Output | |
| | firing | neuron | | firing | neuron |
| A = 4 | 4 | 32 | A = 4 | 2 | 17 |
| B = 4 | 4 | 28 | B = 4 | 2 | 15 |
| A + B | 6 | 87 | A + B | 6 | 65 |

F = 120[Hz], A = 1.5[v] F = 120[Hz], A = 1.5[v]

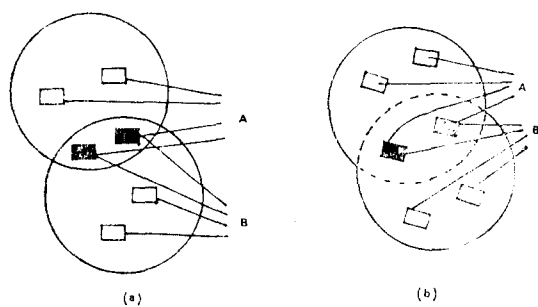


그림 3-14. 두개의 흥분성 입력을 갖는 집단신경세포
Fig. 3-14. Neuron pool with two excitatory stimulus.

델의 문턱전위인 $0.4[v]$ 를 넘는 $0.7[v]$ 의 자극이 들어오게 되므로活動電位를 일으키게 되었다. 表 3-7에서 볼 수 있듯이 이 集團神經細胞모델은 神經의 生理的인 현상인 occlusion 및 facilitation特性을 만족하였다.

4. 結 果 考 察

單一神經細胞의 電氣的 모델의 製作과 이 電氣的 모델에서의 입력자극의 크기, 자극의 지속시간 및 자극의 周波數 등의 變化에 對한 應答特性과 이를 單一神經 모델 6개로 構成된 集團神經回路網에서 얻어진 結果는 다음과 같이 考察되었다.

(1) 單一神經細胞모델의 자극의 크기

表 3-3과 사진 1에 나타난 것처럼 자극의 크기를 增加시킴에 따라活動電位의 크기는 一定하지만 그의 發生 빈도수는 增加하였고 입력자극의 세기가 문턱값 以下인 $0.15[v]$ 의 경우에는 活動電位가 發生하지 않았는데 이것은 神經細胞에서 “all or none”법칙, 즉 자극

의 크기가 신경세포의 문턱전위보다 낮으면 자극의 지속시간 周波數 및 크기에 관계없이 活動電位가 發生되지 않는 神經細胞의 特性을 만족하였다.

(2) 單一神經細胞모델의 자극의 지속시간

表 3-4와 사진 2에 나타난 것처럼 자극의 지속시간이 增加하면 活動電位의 크기는 一定하지만 그의 發生 빈도수는 增加하였는데 이 경우에는 자극의 周波數와 크기가 一定할 때 자극의 지속시간이 길어지면 活動電位의 發生 빈도수는 增加하는 神經細胞의 “strength-duration”特性을 만족하였다.

(3) 單一神經細胞모델의 자극의 周波數

表 3-5와 사진 3에 나타난 것처럼 자극의 周波數가 增加함에 따라 神經細胞모델의 活動電位의 크기는 一定하지만 그의 發生 빈도수는 增加하였는데 이것은 자극의 周波數를 增加시키면 發生하는 活動電位의 크기는 變하지 않고 그의 發生 빈도수만을 增加시키는 生理的特性을 만족하였다.

(4) 集團神經細胞모델

실제 集團神經細胞에서 일어나는 여러 가지 生理的 현상 중에서 subliminal fringe 및 空間的加重과 occlusion 및 facilitation에 限하여 단 實驗하였다. 實驗의 結果에 나타난 것처럼 입력자극의 크기가 增加함에 따라, 자극의 지속시간이 길어짐에 따라 자극의 周波數가 높아짐에 따라活動電位의 發生 빈도수가 증가하였다.

(5) 흥분성 입력(+V)과 억제성 입력(-V)이 同時に 들어가는 경우에는 두 입력의 差가 문턱전위를 넘어야만 活動電位가 發生하였다. 이는 神經細胞모델이 加重特性과 “all or none”법칙을 만족하고 있음을 나타낸 것이다.

(6) 또한 發화신경세포의 數가 같은 경우라 할지라도 가중된 입력자극의 세기에 따라活動電位의 發生 빈도수는 다르게 나타났다. 그림 4-1은 集團神經細胞모델의 9가지 方式에서 얻어진 임펄스 패턴을 종합한 結

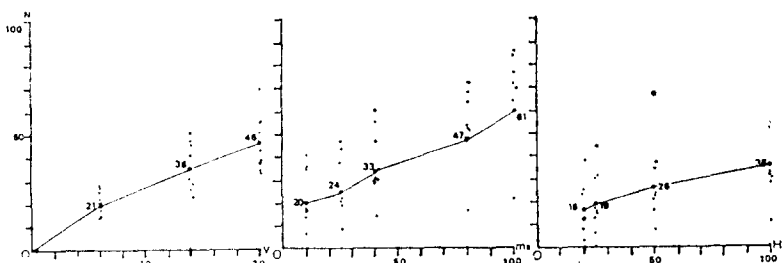


그림 4-1. 집단신경회로의 출력 임펄스 패턴
Fig. 4-1. Output impulse patterns of neuron pool

果이다. 자극의 크기, 지속시간 및 주파수 변화에 대한活動電位의 發生빈도수의 전체적인 패턴은 입력자극의 증가에 따라 대체로 線型성을 유지하며增加하였다.

(7) Occlusion 實驗에서는 實驗모델이 表 3-7에서와 같이 실제 神經細胞와 유사한 動作을 보였으며 facilitation 實驗에서는 subliminal fringe 内에 있는 神經細胞모델의 문턱전위를 다른 神經細胞모델보다 약간 높여 주어야만 실제 神經細胞와 유사한 動作을 보였다.

5. 結論

본研究는 神經系에서 이루어지고 있는 情報處理 메카니즘을 單一神經모델과 이들로構成된 集團神經回路網의 電氣的 모델을 通하여 밝혀진 것으로 얻어진結果는 다음과 같다.

1. 單一神經細胞에서 자극의 크기, 자극의 지속시간 및 자극의 周波數동이 增加하면 活動電位의 크기는 一定하지만 그의 發生빈도수는 增加하였다.

2. 자극의 크기가 문턱전위보다 낮으면 자극의 주파수나 지속시간의 變化에 관계없이 活動電位가 發生하지 않는 “all or none”법칙을 만족하였다.

3. 자극의 지속시간 증가에 의해 活動電位의 發生빈도수가 增加하는 “strength-duration”관계를 만족하였다.

4. 集團神經細胞모델에서 입력자극의 加重에 의한 出力特性을 나타냈으며 出力임펄스의 發生은 입력자극에 對해 線型성을 가진 증가형태를 나타내었다.

5. 集團神經細胞모델은 生理的 현상인 occlusion 特性을 만족하였으며 subliminal fringe 内의 神經細胞모델의 문턱전위를 높이면 facilitation 特性도 만족하였다.

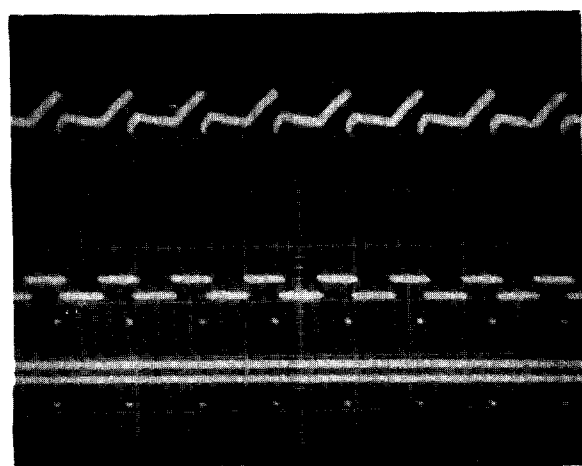
以上의 實驗結果로 單一神經細胞모델의 情報處理特性을 電氣的 모델을 通하여 밝혀볼 수 있었으며 한 개의 神經細胞에서 傳達된 자극을 神經의 넓은 부위에 傳達하는 中間媒介體로서의 集團神經細胞의 모델화 可能性을 提示하였다. 따라서 본 實驗에서 使用된 神經細胞모델을 좀 더 확장하여 회로의 단순화 소형화 사용 전 원의 단일화 入出力電位의 저레벨화, 모델변수의 단일화, 소모전류의 극소화 문제등을 改善할 수 있다면 대규모적인 集團神經細胞를 構成할 수 있을 것이며 神經系의 넓은 부위에서 일어나는 情報處理 메카니즘을 규명할 수 있을 것으로 기대된다.

참고문헌

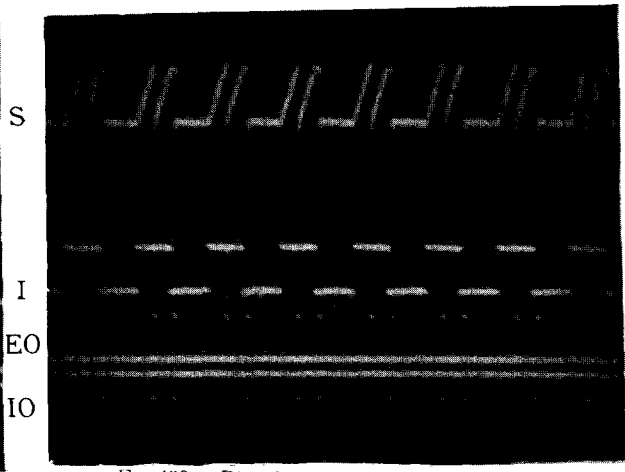
- 1) Hodgkin, A.L. and Huxley, A.F., 1952a, "Currents carried by sodium ions through the membrane of the giant axon of *Loligo*," *J. Physiol.*, Vol. 116, pp.449-472.
- 2) Hodgkin, A.L. and Huxley, A.F., 1952b, "The components of membrane in the giant of *Loligo*," *J. Physiol.*, Vol. 116, pp.473-496.
- 3) Hodgkin, A.L. and Huxley, A.F., 1952c, "The dual effect of membrane potential on sodium conductance in the giant axon of *Loligo*," *J. Physiol.*, Vol. 116, pp.497-504.
- 4) Hodgkin, A.L. and Huxley, A.F., 1952d, "A quantitative description of membrane current and its application to conduction and excitation in nerve," *J. Physiol.* 117, pp.500-544.
- 5) Sabah, H.H. & Spangler, R.A., "Repetitive response of the Hodgkin Huxley model for the squid giant axon," *J. Theor. Biol.*, Vol. 29, pp. 155-171, 1970.
- 6) French, A.S. & Stein, R.B.: "A flexible neural analog using integrated circuits," *IEEE Trans. Vol. BME-17*, pp. 248-253, 1970.
- 7) Roy, G.: "A simple electronic analog of the squid axon membrane: The Neuro FET," *IEEE Trans. Vol. BME-19*, pp. 60-63, 1972.
- 8) Pottla, E.W., Colburn, T.R. & Humphrey, D.R.: "A dendritic compartment model neuron," *IEEE Trans. Vol. BME-20*, pp. 132-139, 1973.
- 9) Hallgren, R.: "Analog model of a passive myelinated nerve fiber," *IEEE Trans. Vol. BME-20*, pp. 472-474, 1973.
- 10) Thexton, A.J.: "A modification of the french and stein neural analog," *IEEE Trans. Vol. BME-21*, pp. 339-341, 1974.
- 11) Brise, S.C. & Bittner, G.D.: "Regeneration of giant axons in earthworms," *Brain Research*, Vol. 113, pp.575-581, 1976.
- 12) Kline, J.: *Biological foundations of biomedical engineering*. Little, Brown and Company, pp. 415-672, 1976.

- 13) Myoung-Ho Lee & Sang-Hui Park, "Electrical simulation for changes in impulse patterns across multi-neural synapses," *Journal of KOSOMBE*, Vol. 1, No. 1, pp.37-46, 1980.
- 14) Brockman, W.H.: "A simple electronic neuron model incorporation both active and passive responses," *IEEE Vol. BME-26*, pp. 635-639 1979.
- 15) Kousei Maeda, Tsuneo Yagi & Akira Noguchi,
- 16) Yozo Hirai: "A new hypothesis for synaptic modification: An interactive process between postsynaptic competition and presynaptic regulation," *Biol. Cybernetics Vol. 36*, pp. 41-50, 1980.

□ 김 · 이 · 이 논문 사진부도 및 설명 □

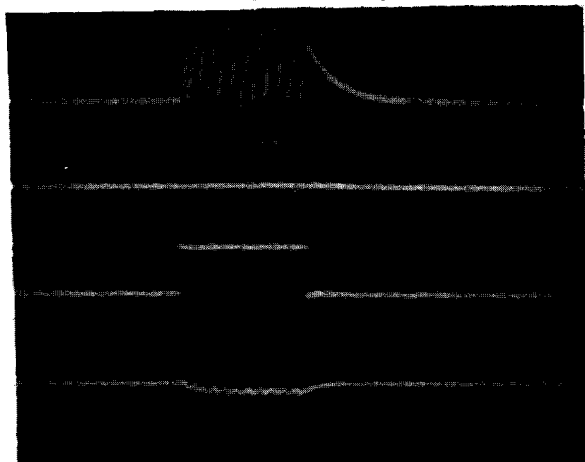


$F = 400$ $Di = 1.2$ $Ai = 0.8$ $N = 8$

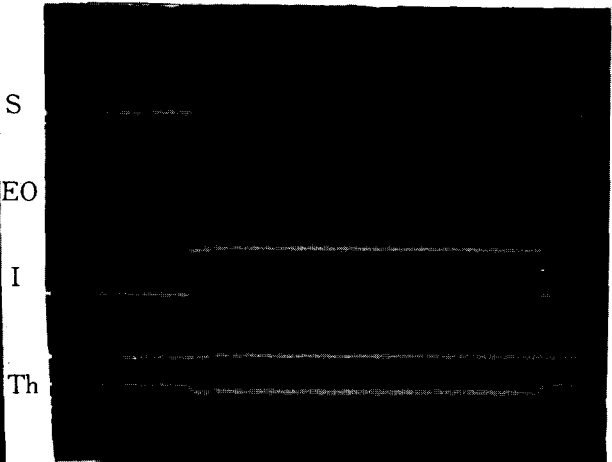


$F = 400$ $Di = 1.2$ $Ai = 2.0$ $N = 16$

Photo. 1. Output impulse patterns for stimulus of different amplitude.

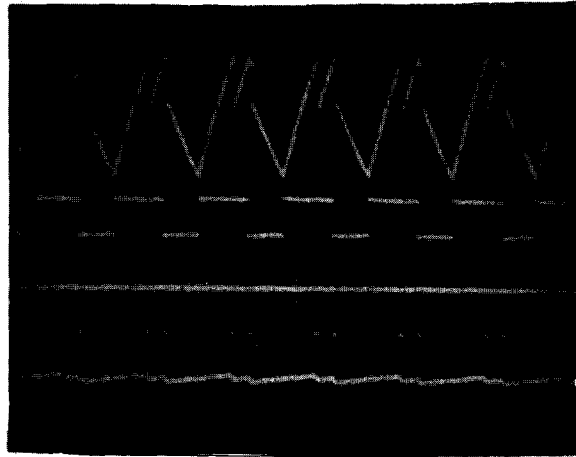


$F = 150$ $Di = 5$ $Ai = 5$ $N = 11$

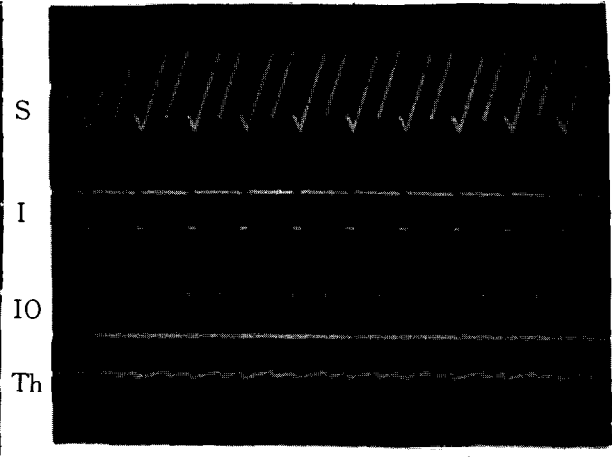


$F = 150$ $Di = 25$ $Ai = 5$ $N = 120$

Photo. 2. Output impulse patterns for stimulus of different duration.



$F = 16$ $Di = 30$ $Ai = 0.8$ $N = 13$



$F = 32$ $Di = 30$ $Ai = 0.8$ $N = 22$

Photo. 3. Output impulse patterns for stimulus of different frequency.